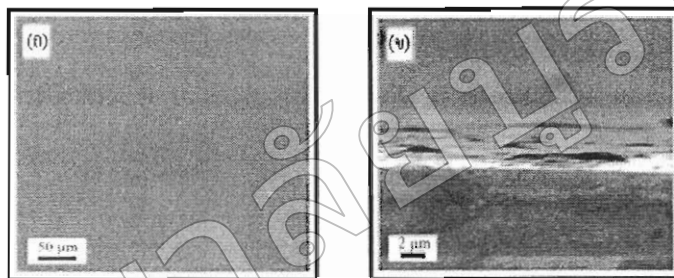


## บทที่ 4

### ผลการวิจัย

#### 4.1 ผลการเคลือบฟิล์มบางนิกเกิล

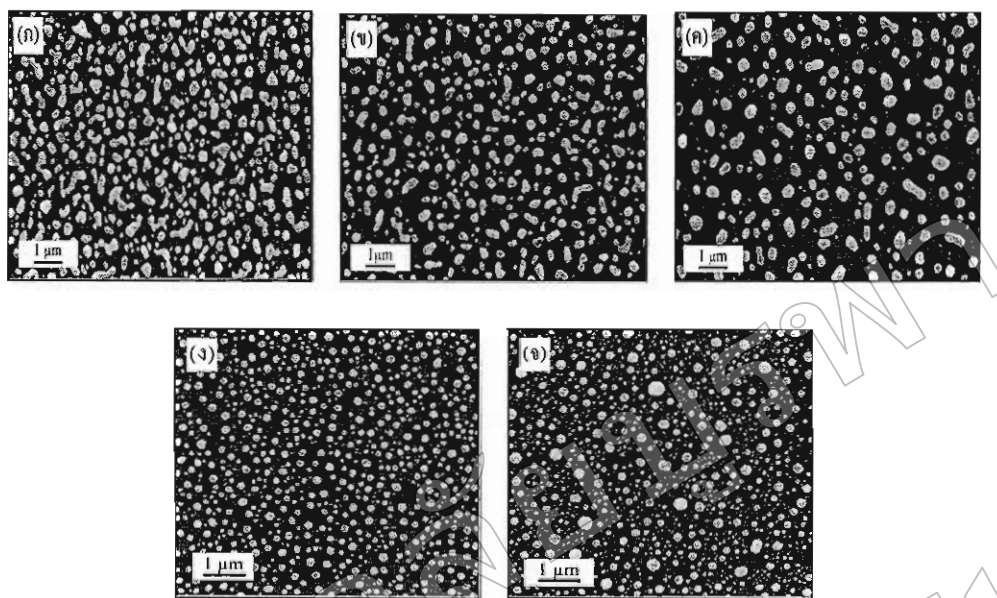


ภาพที่ 23 แสดงลักษณะของชั้นฟิล์มนิกเกิลที่เคลือบบนแผ่นซิตiconออกไซด์ด้วยวิธีดีซี-สปีกเตอริง (ก) ภาพพื้นผิวทางด้านบนของฟิล์มนิกเกิล (ข) ภาพพื้นผิวทางด้านล่างของฟิล์มนิกเกิล

ภาพที่ 23 แสดงผลการเคลือบฟิล์มบางนิกเกิลด้วยวิธีดีซี-สปีกเตอริง โดยมีความหนาของชั้นฟิล์มนิกเกิลประมาณ 20 นาโนเมตร ภาพที่ 23(ก) แสดงภาพพื้นผิวของฟิล์มนิกเกิลที่วิเคราะห์ด้วยกล้องจุลทรรศน์อิเล็กตรอนแบบส่องกราด ที่กำลังขยาย 100 เท่า พนท.ฟิล์มนิกเกิลมีลักษณะผิวที่ราก焘เทียบ ภาพที่ 23(ข) แสดงภาพด้วยกล้องจุลทรรศน์อิเล็กตรอนแบบส่องกราด ที่กำลังขยาย 1500 เท่า

#### 4.2 ผลการเตรียมอนุภาคนิกเกิล

การเตรียมอนุภาคนิกเกิลที่อุณหภูมิ 700, 750, 800, 900 และ 950 องศาเซลเซียส โดยใช้แก๊สแอนโนเนนซี่ที่อัตราการไหล 50 sccm เป็นเวลา 20 นาที เพื่อเป็นตัวทำปฏิกิริยาและกัดเซาะฟิล์มบางนิกเกิลให้เปลี่ยนเป็นอนุภาคนิกเกิลและทำหน้าที่กำจัดออกไซด์บนฟิล์มนิกเกิล ผลการวิเคราะห์รูปร่างของอนุภาคนิกเกิลที่เตรียมได้ด้วยกล้องจุลทรรศน์อิเล็กตรอนแบบส่องกราด มีผลดังนี้



ภาพที่ 24 ภาพถ่ายกล้องจุลทรรศน์อิเล็กตรอนแบบส่องร้าดของอนุภาคนิกเกิลที่อุณหภูมิ

(ก) 700 องศาเซลเซียส (ข) 750 องศาเซลเซียส (ค) 800 องศาเซลเซียส

(จ) 900 องศาเซลเซียส (ฉ) 950 องศาเซลเซียส

ภาพที่ 24 แสดงภาพถ่ายจากกล้องจุลทรรศน์อิเล็กตรอนแบบส่องร้าดของอนุภาค

นิกเกิลบนชั้นซีดิค่อนออกไซด์ พนว่าการเตรียมอนุภาคนิกเกิลที่ช่วงอุณหภูมิ 700 ถึง 800

องศาเซลเซียส รูปร่างส่วนใหญ่ของอนุภาคนิกเกิลมีลักษณะเป็นเต็นและก้อนของอนุภาคที่บังเขื่อน

ติดกันและอนุภาคบางส่วนมีลักษณะเป็นก้อนกลม แต่เมื่อใช้อุณหภูมิในการเตรียมอนุภาคนิกเกิลที่

อุณหภูมิ 900 และ 950 องศาเซลเซียส พนว่ารูปร่างของอนุภาคส่วนใหญ่จะมีลักษณะเป็นก้อนกลม

มากขึ้น เมื่อong จากการกัดเซาะของไมเลกุลแอม โนเนียจะเกิดปฏิกิริยาได้เมื่อได้รับความร้อนที่

สูงขึ้น แก๊สแอม โนเนียจะทำการกัดเซาะให้ออนุภาคนิกเกิลมีลักษณะเป็นก้อนกลมมากขึ้น จากภาพที่

24(ง) จะสังเกตเห็นได้ว่าอนุภาคนิกเกิลมีขนาดที่ใกล้เคียงกัน ขณะที่การเตรียมอนุภาคนิกเกิลที่

อุณหภูมิ 950 องศาเซลเซียส ดังภาพ 24(ง) อนุภาคนิกเกิลเริ่มที่จะมีขนาดที่แตกต่างกัน อนุภา

นง ส่วนมีการรวมตัวกันมีขนาดอนุภาคเป็นก้อนกลมที่มีขนาดใหญ่ขึ้น สอดคล้องกับรายงานการ

วิจัยก่อนหน้านี้ที่กล่าวว่าการเตรียมอนุภาคเหล็กโดยใช้แก๊สแอม โนเนียทำหน้าที่ในการกัดเซาะที่

อัตราการไหลและเวลาเท่ากัน การเตรียมอนุภาคเหล็กที่อุณหภูมิสูงกว่าจะมีขนาดของอนุภาคที่ใหญ่

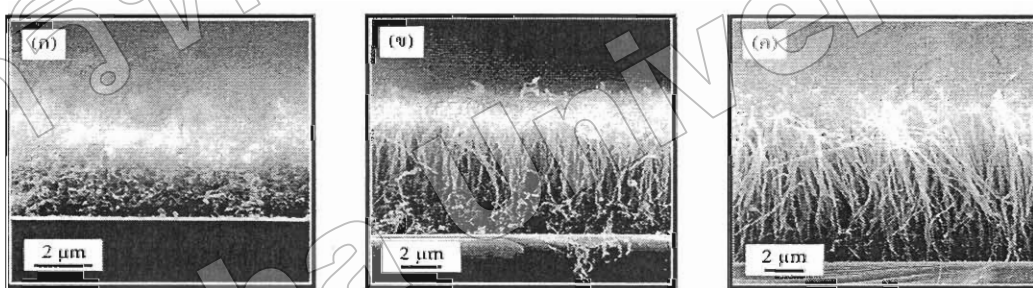
กว่า เมื่อong มาจากอนุภาคเหล็กจะเคลื่อนตัวเข้ารวมกันกลายเป็นก้อนอนุภาคเหล็กที่มีขนาดใหญ่ขึ้น

(Lee, Park, Huh, & Lee, 2001, pp.33-38)

อนุภาคนิกเกิลถือเป็นส่วนสำคัญต่อการเตรียมท่อนาโนคาร์บอน เนื่องจากอนุภาคนิกเกิลจะเป็นตัวกำหนดขนาดและรูปร่างของท่อนาโนคาร์บอน ดังนั้นการสังเคราะห์ท่อนาโนคาร์บอนที่อุณหภูมิ 700, 750 และ 800 องศาเซลเซียส น่าที่จะได้ท่อนาโนคาร์บอนที่มีความสมมาตรและความสมบูรณ์ที่ต่ำ เนื่องจากอนุภาคนิกเกิลมีความสมมาตรที่ต่ำ ดังนั้นทางผู้วิจัยจะทำการสังเคราะห์ท่อนาโนคาร์บอนที่ช่วงอุณหภูมิ 850 ถึง 950 องศาเซลเซียส เนื่องจากการเตรียมอนุภาคนิกเกิลที่ช่วงอุณหภูมิดังกล่าวมีลักษณะรูปร่างกลมและสมมาตรสูงกว่า ซึ่งจะทำให้มีการก่อตัวและมีความสมบูรณ์ของท่อนาโนคาร์บอนที่ดีขึ้น

### 4.3 ผลการสังเคราะห์ท่อนาโนคาร์บอน

การสังเคราะห์ท่อนาโนคาร์บอนที่อุณหภูมิ 850, 900 และ 950 องศาเซลเซียส ผลการวิเคราะห์ของขนาด โครงสร้างและรูปร่างของท่อนาโนคาร์บอนที่สังเคราะห์ได้ด้วยกัดลอกจุลทรรศน์ อิเล็กตรอนแบบส่องจราดและการกัดลอกจุลทรรศน์อิเล็กตรอนแบบส่องผ่าน มีผลดังนี้

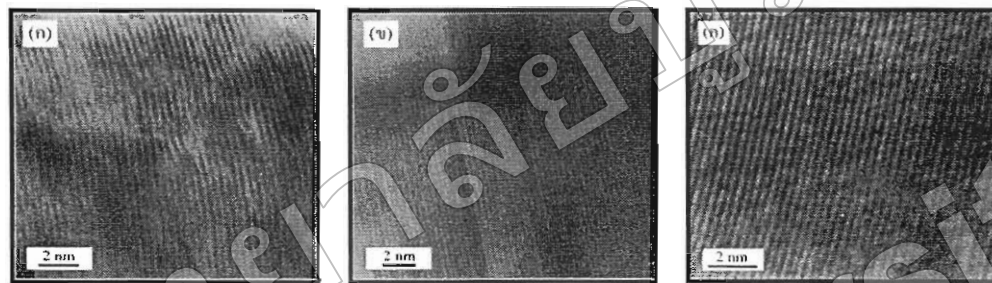


ภาพที่ 25 ภาพถ่ายค่าลอกจุลทรรศน์อิเล็กตรอนแบบส่องจราดของท่อนาโนคาร์บอนที่สังเคราะห์ที่อุณหภูมิ (a) 850 องศาเซลเซียส (b) 900 องศาเซลเซียส (c) 950 องศาเซลเซียส

ผลการวิเคราะห์จากกล้องจุลทรรศน์อิเล็กตรอนแบบส่องจราดของท่อนาโนคาร์บอนที่สังเคราะห์ที่อุณหภูมิ 850, 900 และ 950 องศาเซลเซียส ดังแสดงในภาพที่ 25 พบว่า

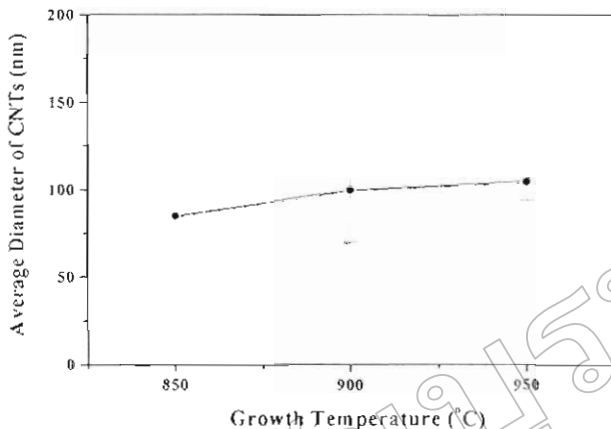
ท่อนาโนคาร์บอนที่สังเคราะห์ที่อุณหภูมิ 850 องศาเซลเซียส มีลักษณะที่เรียบเนียน ขณะที่ท่อนาโนคาร์บอนที่สังเคราะห์ที่อุณหภูมิ 900 และ 950 องศาเซลเซียส ท่อนาโนคาร์บอนมีลักษณะความเป็นเส้นตรงมากขึ้นและมีรูปแบบการจัดเรียงตัวอยู่ในแนวตั้งกับพื้นผิวของแผ่นรองรับ สาเหตุการสังเคราะห์ที่อุณหภูมิ 900 และ 950 องศาเซลเซียส มีรูปแบบการจัดเรียงตัวในลักษณะดังกล่าวเนื่องจากอนุภาคนิกเกิลมีความหนาแน่นที่เหมาะสมทำให้ท่อนาโนคาร์บอนที่ก่อตัวแต่ละท่อจะเกิดการกีดขวางและเกิดแรง

วานเดอร์วัลส์ระหว่างกันขึ้น ซึ่งสอดคล้องกับการอธิบายของลีและคัง (Lee, Park, Kang, & Lee, 2000, pp. 554-559) เมื่อทำการสังเกตค่าความยาวเฉลี่ยของท่อนาโนคาร์บอนที่สังเคราะห์ที่อุณหภูมิ 900 และ 950 องศาเซลเซียส มีค่าความยาวเฉลี่ยเท่ากับ  $8.1 \pm 1.0$  และ  $10.0 \pm 1.2$  ไมโครเมตร ตามลำดับ สาเหตุดังกล่าวมาจากการใช้อุณหภูมิของการสังเคราะห์ที่สูงขึ้นทำให้เกิดสภาวะซึ่งมีการแตกตัวและแพร่กระจายลงบนอนุภาคนิกเกิลเพิ่มมากขึ้น เป็นผลทำให้ค่าความยาวของท่อนาโนคาร์บอนมีค่าเพิ่มขึ้นเมื่ออุณหภูมิที่ใช้ในการสังเคราะห์สูงขึ้น

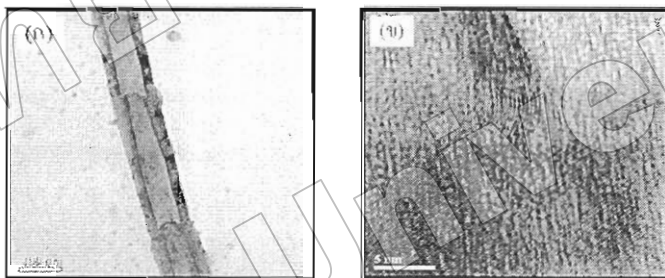


ภาพที่ 26 ภาพถ่ายกล้องจุลทรรศน์อิเล็กตรอนแบบส่องผ่านของผนังท่อนาโนคาร์บอนที่อุณหภูมิ (ค) 850 องศาเซลเซียส (ข) 900 องศาเซลเซียส (ค) 950 องศาเซลเซียส

ภาพที่ 26 แสดงภาพถ่ายจากกล้องจุลทรรศน์อิเล็กตรอนแบบส่องผ่าน พบว่า ท่อนาโนคาร์บอนที่สังเคราะห์ได้มีลักษณะแบบผนังลายชั้น มีความเป็นระเบียบของผนังท่อนาโนคาร์บอนมากขึ้นเมื่ออุณหภูมิที่ใช้ในการสังเคราะห์สูงขึ้น สาเหตุเนื่องมาจากการสังเคราะห์ท่อนาโนคาร์บอนที่อุณหภูมิสูงขึ้นทำให้เกิดสภาวะซึ่งมีการแตกตัวได้ดีขึ้น (Lee, Lyu, Cho, Lee, & Cho, 2001, pp.245-249) โดยที่ค่าเฉลี่ยเส้นผ่าศูนย์กลางของท่อนาโนคาร์บอนที่สังเคราะห์ที่อุณหภูมิ 850, 900 และ 950 องศาเซลเซียส มีค่าเท่ากับ  $85.2 \pm 30.8$ ,  $99.8 \pm 32.0$  และ  $104.6 \pm 10.2$  นาโนเมตร ตามลำดับ จากผลที่ได้แสดงให้เห็นว่าขนาดเส้นผ่าศูนย์กลางของท่อนาโนคาร์บอนมีค่าเพิ่มขึ้นเมื่ออุณหภูมิที่ใช้ในการสังเคราะห์สูงขึ้น สำหรับสาเหตุดังกล่าวเป็นผลมาจากการเตรียมอนุภาคนิกเกิลที่อุณหภูมิ 850, 900 และ 950 องศาเซลเซียส อนุภาคนิกเกิลจะมีขนาดที่ใหญ่ขึ้นดังแสดงในรูปที่ 24 ซึ่งอนุภาคนิกเกิลถือเป็นส่วนสำคัญในการกำหนดขนาดและรูปร่างของท่อนาโนคาร์บอน นอกจากนี้ยังพบว่าลักษณะของห่อส่วนใหญ่ที่สังเคราะห์ที่อุณหภูมิ 900 และ 950 องศาเซลเซียส มีลักษณะเป็นรูปร่างแบบตัน ไฟดังแสดงในภาพที่ 28

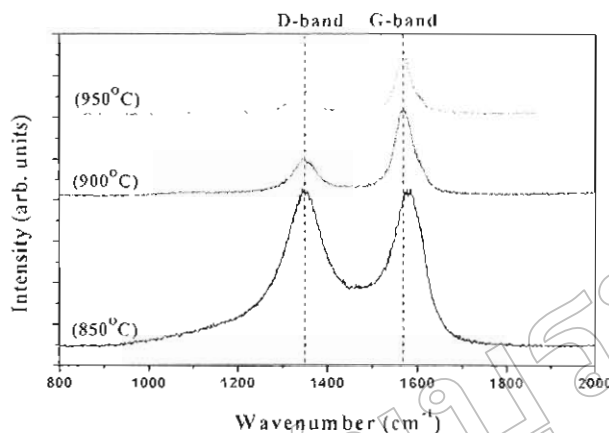


ภาพที่ 27 กราฟแสดงความสัมพันธ์ระหว่างอุณหภูมิกับค่าเฉลี่ยขนาดเส้นผ่าศูนย์กลางของท่อนาโนคาร์บอน



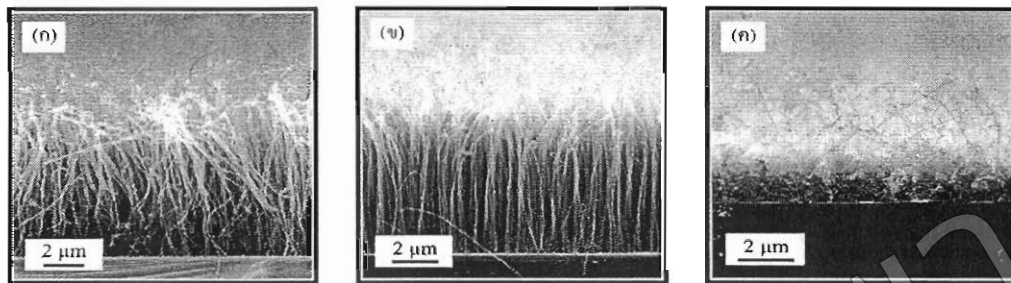
ภาพที่ 28 ภาพถ่ายกล้องจุลทรรศน์อิเล็กตรอนแบบส่องรายของ (g) ท่อนาโนคาร์บอนแบบผนังเดียวชั้นรูปไผ่แบบดันไฝ (h) รอยต่อของชั้นกราฟีนในท่อนาโนคาร์บอนรูปไผ่แบบดันไฝ

จากภาพที่ 28 แสดงภาพท่อนาโนคาร์บอนที่สังเคราะห์ที่อุณหภูมิ 900 และ 950 องศาเซลเซียส พบร้าท่อนาโนคาร์บอนที่สังเคราะห์ได้ร่วนใหญ่มีลักษณะเป็นท่อนาโนคาร์บอนแบบผนังเดียวชั้นรูปไผ่แบบดันไฝ (Bamboo-shaped multi-walled carbon nanotubes) สาเหตุดังกล่าวมาจากแก๊สอะซเททที่อินเมื่อเกิดการแตกตัวและแพร่ลงบนอนุภาคนิกเกิล ทำให้เกิดชั้นกราฟีนซึ่งกล้ายเป็นผนังของท่อนาโนคาร์บอน และในขณะที่กำลังก่อตัวเป็นผนังของท่อนาโนคาร์บอนอยู่นั้นมีการรับอนบางส่วนได้แพร่กระจายตัวเข้าไปภายในอนุภาคนิกเกิล เกิดการรวมตัวกันและคั้นตัวเข้าไปอยู่ด้านบนทำให้เกิดเป็นผนังชั้นด้านในอีกชั้นหนึ่ง ซึ่งเกิดลักษณะแบบนี้ขึ้นต่อเมื่อเป็นผลทำให้เกิดท่อนาโนคาร์บอนแบบผนังหลากรูปแบบดันไฝ (Lee & Park, 2001, pp. 2365-2368)



ภาพที่ 29 สเปกตรัมรำนาณท่อนาโนคาร์บอนที่สังเคราะห์ที่อุณหภูมิ 850, 900 และ 950 องศาเซลเซียส

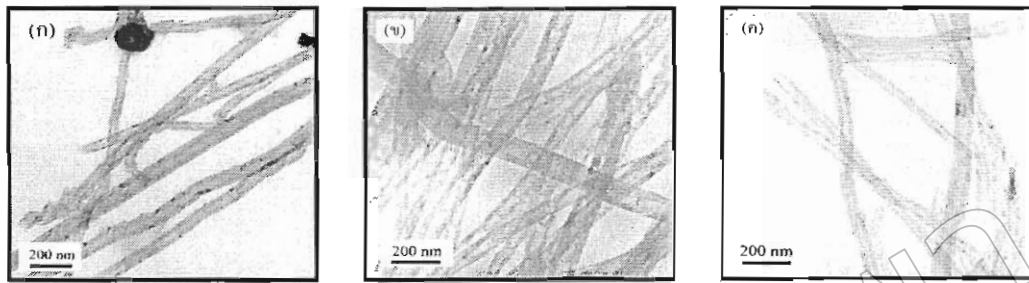
ผลการวิเคราะห์คุณสมบูรณ์ของท่อนาโนคาร์บอนด้วยเทคนิคของรำนาณสเปกโตรสโคป ผลการวิเคราะห์พบว่าท่อนาโนคาร์บอนที่สังเคราะห์ที่อุณหภูมิ 850, 900 และ 950 องศาเซลเซียส เกิดพีกของ G แบนด์ ที่บริเวณตำแหน่ง 1583, 1578 และ 1568 cm<sup>-1</sup> ตามลำดับ ซึ่งพีกดังกล่าวแสดงถึงลักษณะโครงสร้างของชั้นกราฟีนของท่อนาโนคาร์บอน และเกิดพีก D แบนด์ ที่บริเวณตำแหน่ง 1347, 1353 และ 1340 cm<sup>-1</sup> ตามลำดับ โดยพีกดังกล่าวแสดงถึงลักษณะความไม่เป็นระเบียบของอะตอมคาร์บอนในชั้นกราฟีนหรือความบกพร่องของโครงสร้างในชั้นกราฟีน ซึ่งค่าความสมบูรณ์ของท่อนาโนคาร์บอนหาได้จากอัตราส่วนระหว่างความเข้มของพีก I(G) และ I(D) พยัญค่า  $I(G)/I(D)$  มีค่าเพิ่มขึ้นจาก 1.00 เป็น 2.49 เมื่ออุณหภูมิที่ใช้ในการสังเคราะห์สูงขึ้นจากผลที่ได้แสดงให้เห็นว่าความสมบูรณ์ของท่อนาโนคาร์บอนมีค่าสูงขึ้นเมื่ออุณหภูมิที่ใช้ในการสังเคราะห์เพิ่มขึ้น



ภาพที่ 30 ภาพถ่ายกล้องจุลทรรศน์อิเล็กตรอนแบบส่องกราดท่อนาในคาร์บอนฟลั๊ตกระหะที่อุณหภูมิ 950 องศาเซลเซียส อัตราการไหลดของแก๊สอะเซทีลีน (ก) 20 sccm (ข) 30 sccm (ค) 40 sccm

ภาพที่ 30 แสดงภาพถ่ายจากกล้องจุลทรรศน์อิเล็กตรอนแบบส่องกราดของท่อนาในคาร์บอนที่สังเคราะห์ที่อุณหภูมิ 950 องศาเซลเซียส โดยใช้อัตราการไหลดของแก๊สอะเซทีลีน 20, 30 และ 40 sccm พบร่วมกับท่อนาในคาร์บอนที่สังเคราะห์ที่อัตราการไหลดของแก๊สอะเซทีลีนที่ 20 และ 30 sccm ที่มีลักษณะความเป็นเส้นตรงและมีรูปแบบการขัดเรียบตัวอยู่ในแนวตั้งคล้ายกับผ้าของแผ่นรองรับ ความยาวเฉลี่ยของท่อนาในคาร์บอนมีค่าเท่ากับ  $10.0 \pm 1.2$  และ  $8.0 \pm 1.0$  ไมโครเมตร ตามลำดับ จะสังเกตได้ว่าท่อนาในคาร์บอนที่สังเคราะห์ที่อัตราการไหลดแก๊สอะเซทีลีนที่ 30 sccm มีความยาวเฉลี่ยที่ต่ำกว่าเมื่อเปรียบเทียบกับท่อนาในคาร์บอนที่ใช้อัตราการไหลดแก๊สอะเซทีลีนที่ 20 sccm เนื่องจากการสังเคราะห์ท่อนาในคาร์บอนที่อัตราการไหลดของแก๊สอะเซทีลีนที่ 30 sccm จะมีปริมาณอะตอมของคาร์บอนที่แตกตัวจากแก๊สอะเซทีลีนเพิ่มมากขึ้น ต่อไปนี้จะแสดงผลลัพธ์ของการสังเคราะห์ท่อนาในคาร์บอนที่ใช้อัตราการไหลดแก๊สอะเซทีลีนที่ 40 sccm ซึ่งมีลักษณะเป็นรูปแบบอัมorphous carbon (Amorphous carbon) สามารถจาก การสังเคราะห์ที่ใช้อัตราการไหลดของแก๊สอะเซทีลีนที่ 40 sccm ทำให้ท่อนาในคาร์บอนมีจำนวนชั้น�数ค่าเฉลี่ยเส้นผ่าศูนย์กลางที่เพิ่มขึ้น ซึ่งจะทำให้อัตโนมัติของคาร์บอนที่แตกตัวและแตกแพร่ตามมาทีหลัง จะรวมตัวกันกับอะตอมคาร์บอนที่มาก่อนหน้านี้ ปริมาณอะตอมของคาร์บอนส่วนใหญ่จะตกไปอยู่ที่บริเวณด้านข้างแทน ทำให้ท่อนาในคาร์บอนที่เจือปนไปด้วยกล่าวมีค่าความยาวเฉลี่ยที่น้อยลง

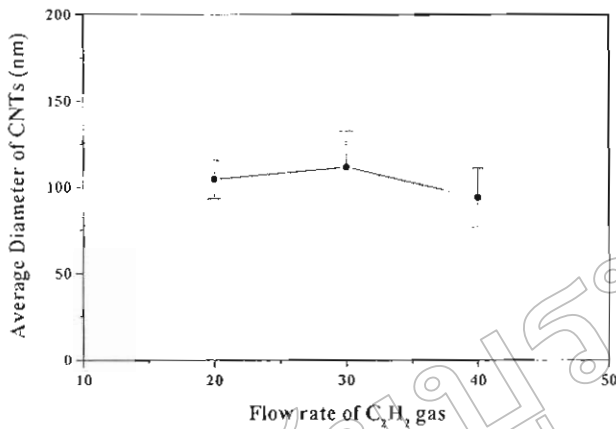
ขณะที่ท่อนาในคาร์บอนที่สังเคราะห์ที่อัตราการไหลดของแก๊สอะเซทีลีนที่ 40 sccm พบร่วมกับท่อนาในคาร์บอนส่วนใหญ่มีลักษณะเป็นรูปแบบอัมorphous carbon (Amorphous carbon) สามารถจาก การสังเคราะห์ที่ใช้อัตราการไหลดของแก๊สอะเซทีลีนที่ 40 sccm น่าจะทำให้ภายในระบบการสังเคราะห์มีปริมาณของแก๊สอะเซทีลีนมากจนเกินไปจึงทำให้เกิดเป็นรูปแบบดังลักษณะดังกล่าว (Zhangyi et al., 2007, pp. 92-96)



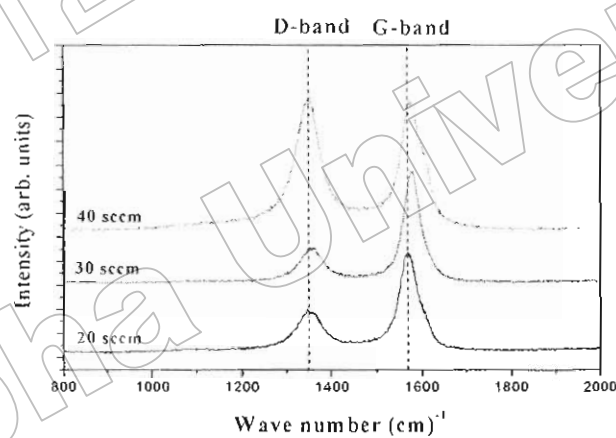
ภาพที่ 31 ภาพถ่ายกล้องจุลทรรศน์อิเล็กตรอนแบบส่องผ่านของผนังห้องน้ำในการบอนที่สังเคราะห์ที่อัตราการไพลของแก๊สอะเซทีลีน (ก) 20 sccm (ง) 30 sccm (ค) 40 sccm

ผลการวิเคราะห์จากกล้องจุลทรรศน์อิเล็กตรอนแบบส่องผ่านของห่อนาโนคาร์บอนที่สังเคราะห์ที่อุณหภูมิ 950 องศาเซลเซียส ที่อัตราการไพลของแก๊สอะเซทีลีนต่าง ๆ กัน พบว่า ห่อนาโนคาร์บอนที่ได้มีลักษณะแบบหน่วงหลาຍชັ້ນและมีลักษณะเป็นห่อนาโนคาร์บอนแบบหน่วงหลาຍชັ້ນรูปร่างแบบตันໄຟ ค่าเฉลี่ยเส้นผ่าศูนย์กลางของห่อนาโนคาร์บอนที่สังเคราะห์ที่อัตราการไพลของแก๊สอะเซทีลีน 20, 30 และ 40 sccm มีค่าเท่ากับ  $104.6 \pm 10.2$ ,  $111.4 \pm 21.3$  และ  $93.8 \pm 17.0$  นาโนเมตร ตามลำดับ จากผลที่ได้แสดงให้เห็นว่าค่าเฉลี่ยเส้นผ่าศูนย์กลางของห่อนาโนคาร์บอนทั้ง 3 เสื่อนไขมีค่าอยู่ในระดับที่ใกล้เคียงกัน เป็นผลเนื่องมาจากการเตรียมอนุภาคนิกเกิลที่อุณหภูมิเดียวกันทำให้ออนุภาคนิกเกิลมีขนาดที่ใกล้เคียงกัน เมื่อทำการสังเคราะห์ห่อนาโนคาร์บอนจึงทำให้ห่อนาโนคาร์บอนมีค่าเฉลี่ยเส้นผ่าศูนย์กลางในระดับที่ใกล้เคียงกันด้วย

นอกจากนี้ยังพบว่าผนังห้องน้ำในการบอนมีความสมบูรณ์มากที่สุดที่เสื่อน ไพล สังเคราะห์ที่ใช้อัตราการไพลของแก๊สอะเซทีลีนที่ 30 sccm ขณะที่การสังเคราะห์ห่อนาโนคาร์บอนที่ใช้อัตราการไพลของแก๊สอะเซทีลีนที่ 40 sccm พบว่ามีค่าความสมบูรณ์ของผนังห้องท่อที่ต่ำลง ซึ่งคาดว่าการใช้เสื่อนไพลดังกล่าวในการสังเคราะห์ห่อนาโนคาร์บอนน่าจะไม่เหมาะสมกับระบบการสังเคราะห์ที่ใช้ในงานวิจัยนี้



ภาพที่ 32 กราฟแสดงความสัมพันธ์ระหว่างอัตราการไหลของแก๊สอะเซทีลีนกับค่าเฉลี่ยขนาดเส้นผ่าศูนย์กลางของท่อนาโนในกระบวนการ



ภาพที่ 33 スペกตรัมรaman ของท่อนาโนในกระบวนการสังเคราะห์ที่อัตราการไหลของแก๊สอะเซทีลีน 20, 30 และ 40 sccm

ผลการวิเคราะห์ความสมบูรณ์ท่อนาโนคาร์บอนด้วยเทคนิคของรaman สเปกโตรสโคปี ผลการวิเคราะห์พบว่าท่อนาโนในกระบวนการที่สังเคราะห์ที่อัตราการไหลของแก๊สอะเซทีลีน 20, 30 และ 40 sccm เกิดพีคของ G แบนด์ ที่บริเวณตำแหน่ง  $1568, 1579$  และ  $1572 \text{ cm}^{-1}$  ตามลำดับ และเกิดพีค D แบนด์ ที่บริเวณตำแหน่ง  $1340, 1354$  และ  $1347 \text{ cm}^{-1}$  ตามลำดับ ขณะที่ค่าความสมบูรณ์ของท่อนาโนในกระบวนการมีค่า  $2.49, 3.28$  และ  $0.97$  ตามลำดับ จากผลที่ได้แสดงให้เห็นว่าความสมบูรณ์ของท่อนาโนในกระบวนการมีค่าสูงสุดที่อัตราการไหลของแก๊สอะเซทีลีนที่  $30 \text{ sccm}$  ในขณะที่อัตราการ

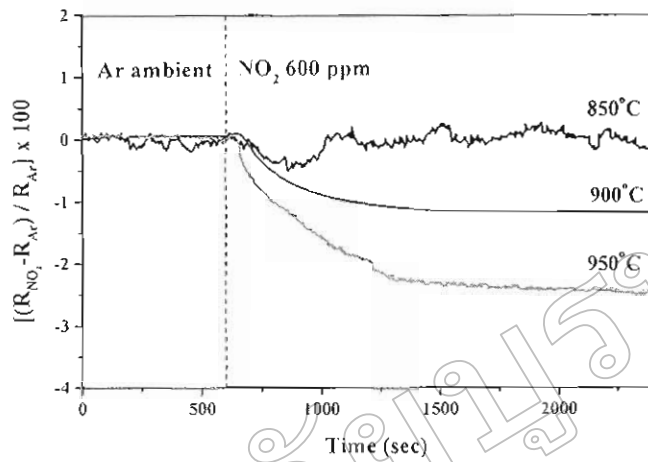
ไอลของแก๊สอะเซทีลีนที่ 40 sccm ท่อนาโนคาร์บอนมีค่าความสมบูรณ์ต่ำที่สุด ซึ่งสาเหตุดังกล่าว มาจากการสังเคราะห์ท่อนาโนคาร์บอนด้วยอัตราการไอลของแก๊สอะเซทีลีนที่สูงขึ้น ทำให้มีปริมาณของแก๊สอะเซทีลีนผ่านเข้าไปในระบบการสังเคราะห์ท่อนาโนคาร์บอนมากจนเกินไป ส่งผลให้เกิดการร้อนในรูปแบบสัมฐานเพิ่มมากขึ้น และทำให้ท่อนาโนคาร์บอนที่สังเคราะห์ได้มีค่าความสมบูรณ์ที่ต่ำลง (Escobar et al., 2007, pp. 251-256)

#### 4.4 ผลการทดสอบแก๊สเซ็นเซอร์

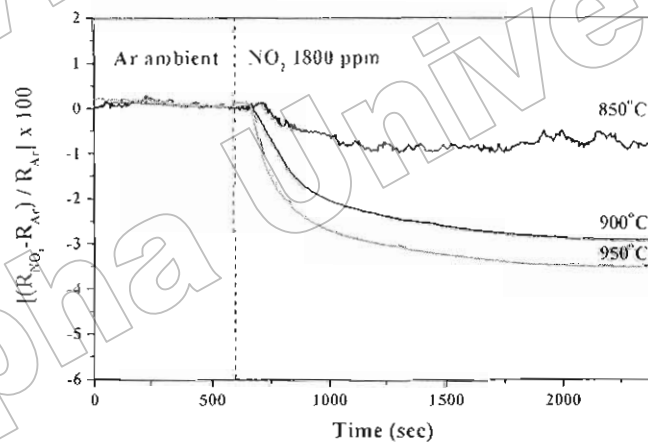
การศึกษาการนำท่อนาโนคาร์บอนที่สังเคราะห์ได้ที่เงื่อนไขต่างๆ มาใช้ในการตรวจวัดแก๊สในโทรศัพท์มือถือได้ออกไซด์เริ่มต้นด้วยการปรับระบบการทดสอบด้วยการปล่อยแก๊สอาเซอร์กอนที่อัตราการไอล 500 sccm เป็นเวลา 10 นาที พบร่วมค่าความด้านทานเริ่มต้นของท่อนาโนคาร์บอนที่เงื่อนไขต่างๆ มีค่าดังแสดงในตารางที่ 4 จากนั้นนำท่อนาโนคาร์บอนที่สังเคราะห์ที่อุณหภูมิ 850, 900 และ 950 องศาเซลเซียส มาใช้ทดสอบตรวจวัดแก๊สในโทรศัพท์มือถือที่ความเข้มข้น 600, 1800 และ 3000 ppm ที่อุณหภูมิห้อง ซึ่งมีผลดังนี้

ตารางที่ 4 แสดงค่าความด้านทานเริ่มต้นภายใต้บรรยายกาศแก๊สอาเซอร์กอนของท่อนาโนคาร์บอนที่สังเคราะห์ที่เงื่อนไขต่างๆ กัน

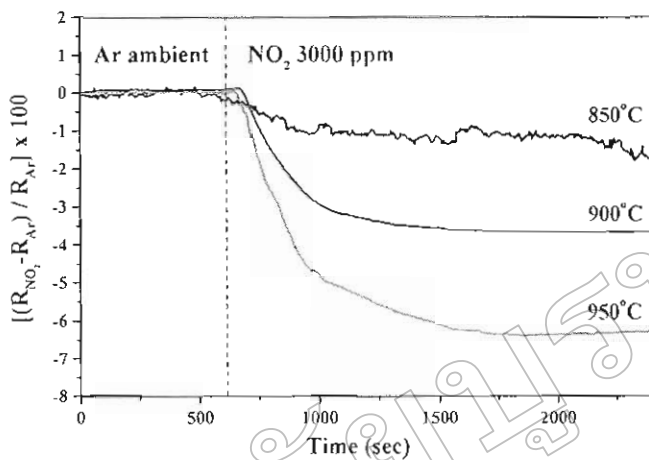
Conditions of synthesis-CNTs		Initial resistance ( $\Omega$ )
Temperature ( $^{\circ}\text{C}$ )	$\text{C}_2\text{H}_2$ flow rate (sccm)	
850	20	892.88
900	20	213.04
950	20	126.77
950	30	836.60
950	40	615.35



ภาพที่ 34 แสดงการเปลี่ยนแปลงค่าเบปอร์เซ็นต์การตอบสนองของท่อนาในкар์บอน ภายใต้  
บรรยากาศแก๊สไนโตรเจน ไดออกไซด์ที่ความเข้มข้น 600 ppm



ภาพที่ 35 แสดงการเปลี่ยนแปลงค่าเบปอร์เซ็นต์การตอบสนองของท่อนาในкар์บอน ภายใต้  
บรรยากาศแก๊สไนโตรเจน ไดออกไซด์ที่ความเข้มข้น 1800 ppm

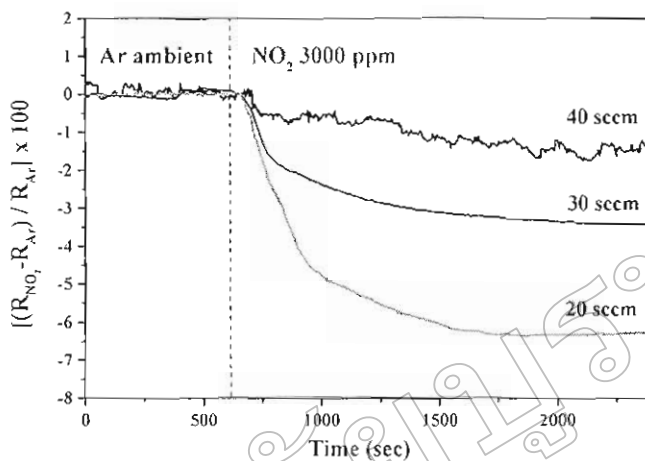


ภาพที่ 36 แสดงการเปลี่ยนแปลงค่าเบอร์เช็นต์การตอบสนองของท่อนาโนคาร์บอน ภายใต้ บรรยายกาศแก๊สใน ไตรเจน ไดออกไซด์ที่ความเข้มข้น 3000 ppm

ผลการทดสอบการตรวจวัดแก๊สในไตรเจน ไดออกไซด์ที่ความเข้มข้น 600, 1800 และ 3000 ppm ตามลำดับ ที่อุณหภูมิห้อง ของท่อนาโนคาร์บอนที่สังเคราะห์ที่อุณหภูมิ 850, 900 และ 950 องศาเซลเซียส พบว่าท่อนาโนคาร์บอนมีค่าความต้านทานทางไฟฟ้าลดลงเมื่อสัมผัสกับแก๊สในไตรเจน ไดออกไซด์ ซึ่งจะสัมพันธ์กับปริมาณความเข้มข้นของโมเลกุลของแก๊ส ในไตรเจน ไดออกไซด์ที่เพิ่มขึ้น โดยที่ค่าเบอร์เช็นต์การตอบสนองของท่อนาโนคาร์บอนที่ สังเคราะห์ที่อุณหภูมิ 850 องศาเซลเซียส มีค่าสัญญาณที่ค่อนข้างต่ำและไม่แน่นอน ขณะที่ ท่อนาโนคาร์บอนที่สังเคราะห์ที่อุณหภูมิ 900 องศาเซลเซียส มีค่าเบอร์เช็นต์การตอบสนองที่ความ เข้มข้น 600, 1800 และ 3000 ppm เท่ากับ 1.17, 2.92 และ 3.66% ตามลำดับ และท่อนาโนคาร์บอนที่ สังเคราะห์ที่อุณหภูมิ 950 องศาเซลเซียส มีค่าเบอร์เช็นต์การตอบสนองที่ความเข้มข้น 600, 1800 และ 3000 ppm เท่ากับ 2.46, 3.50 และ 6.35% ตามลำดับ สำหรับสาเหตุการเปลี่ยนแปลงค่า เบอร์เช็นต์การตอบสนอง เกิดจากการถ่ายเทอิเล็กตรอนระหว่างกัน ซึ่งจากผลการคำนวณในเชิงทฤษฎีที่ ผ่านมาพบว่าในส่วนของผนังท่อที่แสดงสมบัติเป็นโลหะจะเกิดการจับตัวกับโมเลกุลของแก๊ส ในไตรเจน ไดออกไซด์ได้ดีกว่าผนังท่อที่แสดงสมบัติเป็นสารกึ่งตัวนำ (Seo et al., 2005, pp. 15724- 15729) แต่อย่างไรก็ตาม การจับตัวของโมเลกุลแก๊สกับผนังท่อนาโนคาร์บอนแบบผนังหลาຍชั้นนั้น จะแสดงสมบัติการนำไฟฟ้าแบบชนิดพี เมื่อมีการถ่ายเทอิเล็กตรอนระหว่างผนังท่อ กับ โมเลกุลแก๊ส ทำให้ท่อนาโนคาร์บอนมีความต้านทานทางไฟฟ้าลดลง (Ueda et al., 2008, pp. 1586-1589)

ผลการเปรียบเทียบค่าปีอร์เซ็นต์การตอบสนองการตรวจวัดแก๊สในไตรเจน ได้ออกไซด์ของท่อนาโนคาร์บอนที่สังเคราะห์ที่อุณหภูมิ 850, 900 และ 950 องศาเซลเซียส ผลปรากฏว่า ท่อนาโนคาร์บอนที่สังเคราะห์ที่อุณหภูมิ 950 องศาเซลเซียสมีค่าปีอร์เซ็นต์การตอบสนองต่อการวัดแก๊สในไตรเจน ได้อย่างสูงที่สุด สำหรับสารเคมีดังกล่าวคาดว่ามาจากการลดลงของความยาวของท่อนาโนคาร์บอน พบว่าท่อนาโนคาร์บอนที่สังเคราะห์ที่อุณหภูมิ 900 และ 950 องศาเซลเซียสมีค่าความยาวเฉลี่ยเท่ากัน  $8.1 \pm 1.0$  และ  $10.0 \pm 1.2$  ไม้เมตร ตามลำดับ ซึ่งจะเห็นได้ว่า ท่อนาโนคาร์บอนทั้ง 2 เนื่องจากมีค่าเฉลี่ยความยาวของท่อที่แตกต่างกัน ดังนั้นท่อนาโนคาร์บอนที่สังเคราะห์ที่อุณหภูมิ 950 องศาเซลเซียส จึงน่าที่จะมีบริเวณพื้นที่ผิวที่ใช้ในการสัมผัสถักกัน ไม่เลกุลของแก๊สในไตรเจน ได้ออกไซด์ที่มากกว่าเมื่อเปรียบเทียบกับท่อนาโนคาร์บอนที่สังเคราะห์ที่อุณหภูมิ 900 องศาเซลเซียส เนื่องจากมีค่าเฉลี่ยความยาวของท่อนาโนคาร์บอนที่มากกว่า ดังนั้นมีอัตราการดูดซึมน้ำยาต่อระบบทดสอบแก๊สเซ็นเซอร์ ไม่เลกุลแก๊สนา๊ทเชลล์ชนิดเดียว ไปภายในกลุ่มของท่อนาโนคาร์บอนและสัมผัสถักกันหนังของท่อนาโนคาร์บอนที่สังเคราะห์ที่อุณหภูมิ 950 องศาเซลเซียส ได้ในปริมาณที่มากกว่า นอกจากนี้ยังพบว่าบริเวณช่องจั่วระหว่างหัวว่างกลุ่มท่อนาโนคาร์บอนเป็นบริเวณพื้นที่ที่มีการส่งผ่านอิเล็กตรอน ได้ต่อสูญเสียเมื่อเปรียบเทียบกับบริเวณอื่น (Zhao et al., 2002, pp. 195-200) จึงทำให้ค่าปีอร์เซ็นต์การตอบสนองที่วัดได้มีค่าต่ำ สูงขึ้น ขณะที่ท่อนาโนคาร์บอนที่สังเคราะห์ที่อุณหภูมิ 850 องศาเซลเซียส พบว่าท่อนาโนคาร์บอน มีลักษณะหับกันและเป็นเกลียวพันกัน ไปมาอยู่บนแผ่นรองรับ ซึ่งลักษณะดังกล่าวนาที่จะทำให้ไม่เลกุลแก๊สในไตรเจน ได้ออกไซด์ยากที่จะแทรกตัวเข้าไปภายในกลุ่มของท่อนาโนคาร์บอน ได้ ส่งผลให้มีบริเวณพื้นที่ผิวที่ใช้ในการสัมผัสถักกัน ไม่เลกุลแก๊สในไตรเจน ได้ออกไซด์คล่อง ไม่เลกุลของแก๊สตัวน้ำใหญ่น้ำที่จะสัมผัสถักกันบริเวณพื้นผิวด้านบนของตัวอย่างมากกว่า ซึ่งการสัมผัสถักกันบริเวณพื้นผิวของหนังท่อนั้นจะมีการส่งผ่านอิเล็กตรอนที่ค่อนข้างต่ำ (Zhao et al., 2002, pp. 195-200) จึงทำให้ค่าปีอร์เซ็นต์การตอบสนองที่วัดได้มีค่าต่ำ

ในส่วนผลการทดสอบแก๊สเซ็นเซอร์สำหรับการตรวจวัดแก๊สในไตรเจน ได้ออกไซด์ที่ความเข้มข้น 600, 1800 และ 3000 ppm ที่อุณหภูมิห้อง ของท่อนาโนคาร์บอนที่สังเคราะห์ที่อุณหภูมิ 950 องศาเซลเซียส ที่อัตราการไหลของแก๊สอะเซทีลีน 20, 30 และ 40 sccm มีผลดังนี้



ภาพที่ 37 แสดงการเปลี่ยนแปลงค่าเปอร์เซ็นต์การตอบสนองของท่อนาโนคาร์บอนสังเคราะห์ที่อุณหภูมิ 950 องศาเซลเซียส ที่อัตราการไหลของแก๊สอะเซทิลีนต่าง ๆ กัน ภายใต้บรรยากาศแก๊สในไตรเจนโดยออกไซด์ที่ความเข้มข้น 3000 ppm

ผลการเปรียบเทียบค่าเปอร์เซ็นต์การตอบสนองการตรวจวัดเม็ดกรังส์ในไตรเจนโดยออกไซด์ที่ความเข้มข้น 3000 ppm ของท่อนาโนคาร์บอนที่สังเคราะห์ที่อุณหภูมิ 950 องศาเซลเซียส ที่อัตราการไหลของแก๊สอะเซทิลีน 20, 30 และ 40 sccm พนวกับมีค่าเปอร์เซ็นต์การตอบสนองเท่ากับ 6.35, 3.43 และ 1.74% ตามลำดับ จากผลที่ได้แสดงให้เห็นว่าค่าเปอร์เซ็นต์การตอบสนองการตรวจวัดแก๊สในไตรเจนโดยออกไซด์มีค่าลดลงเมื่อใช้อัตราการไหลของแก๊สอะเซทิลีนที่ในการสังเคราะห์ท่อนาโนคาร์บอนให้สูงขึ้น

ตารางที่ 5 แสดงค่าเปอร์เซ็นต์การตอบสนองของท่อนาโนคาร์บอนที่สังเคราะห์ที่เงื่อนไขต่าง ๆ สำหรับตรวจวัดแก๊สในไตรเจนโดยออกไซด์ที่ความเข้มข้นต่าง ๆ ที่อุณหภูมิห้อง

	Conditions of synthesis CNTs		$N_2O$ concentrations (ppm)		
	Temperature (°C)	$C_2H_2$ flow rate (sccm)	600	1800	3000
Respond (%)	850	20	-	0.97	1.76
	900	20	1.17	2.92	3.66
	950	20	2.46	3.51	6.35
	950	30	-	-	3.43
	950	40	-	-	1.74